

非線形粘性ダンパーの増設量に伴う免震層の応答の変化 —その1 オイルダンパーと速度べき乗型ダンパーの比較—

免震構造 応答解析 オイルダンパー
粘性ダンパー

正会員 酒井 直己*1
同 山崎 久雄*2
同 高山 峰夫*3
同 渡邊 信也*4

1. はじめに

免震建築物の応答予測には包絡解析法¹⁾（以下「既法」という）が有効である。既法はエネルギーの釣合い²⁾に基づいた手法で、積層ゴム（線形バネ）と履歴ダンパー（弾塑性バネ）でモデル化された免震層の最大変位と最大せん断力係数の関係を、線形バネによる周期 T_t と弾塑性バネの降伏せん断力係数 α について整理されており、免震層の応答を簡易に予測することができる。

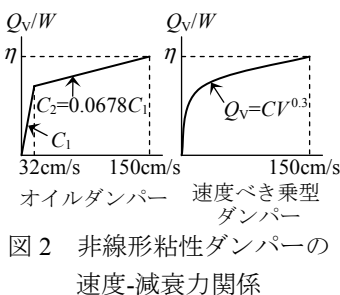
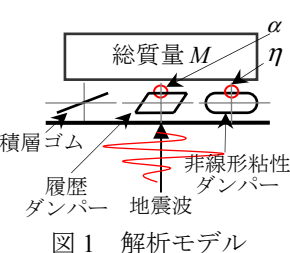
一方、文献³⁾ではオイルダンパーの増設が変形や加速度応答の低減に有効と記され、免震計画においてオイルダンパーの増設やその解析検討の機会が増すと思われる。粘性ダンパーを付与した免震層の応答評価法には東野・北村⁴⁾の研究があるが、ダンパーを線形ダッシュポットとしているため非線形ダッシュポットで適用する場合には等価速度等の設定が必要になる。

そこで本研究は、免震層に増設されるオイルダンパーや速度べき乗型ダンパーを非線形ダッシュポットとして取り扱い、その増設量に対する応答の変化および両ダンパーによる応答の比較を行う。

2. 時刻歴解析モデルと解析条件

時刻歴解析モデルは図1のように既法のモデルに非線形粘性ダンパーのモデルを追加したものであり、図2に非線形粘性ダンパーの速度-減衰力関係を示す。オイルダンパーは速度 32cm/s でリリーフし、その後の減衰係数比を $C_2/C_1=0.0678$ とした⁵⁾。速度べき乗型粘性ダンパーの減衰抵抗力は速度の 0.3 乗に比例⁵⁾より決定するものとした。ともに速度 150cm/s での減衰抵抗力の総重量比 η ($=Q_{V150}/W$) を与えることで速度-減衰力関係を決定する。

また、本報の目的が応答の比較と変化の確認であることから、用いる地震動はBCJ-L2⁶⁾の1波とした。



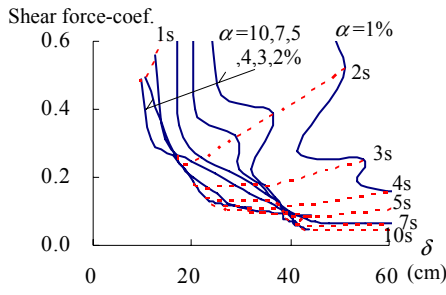


図3 履歴ダンパーのみの解析結果

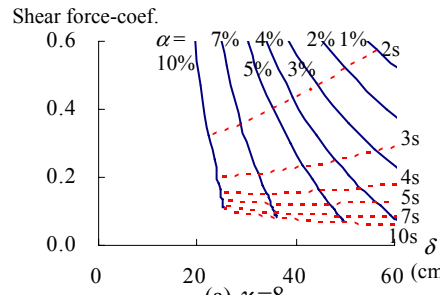


図4 既法による結果 ($V_E=200\text{cm/s}$, $\chi=8$ および $\chi=16$)

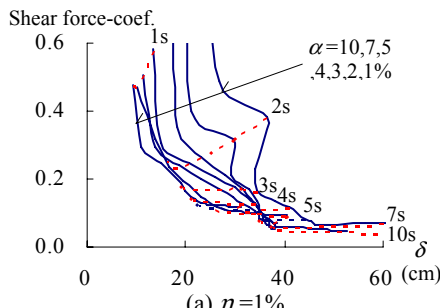
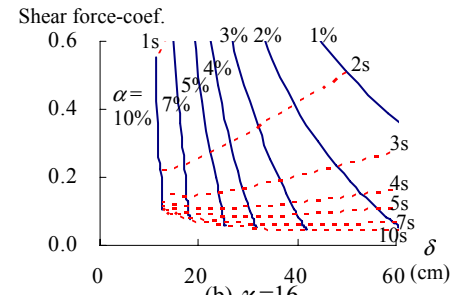


図5 オイルダンパーを増設した場合の時刻歴解析結果 ($\eta=1,3,5\%$)

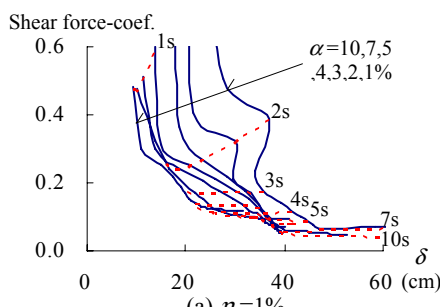
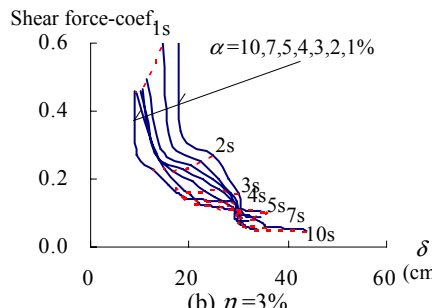


図5 オイルダンパーを増設した場合の時刻歴解析結果 ($\eta=1,3,5\%$)

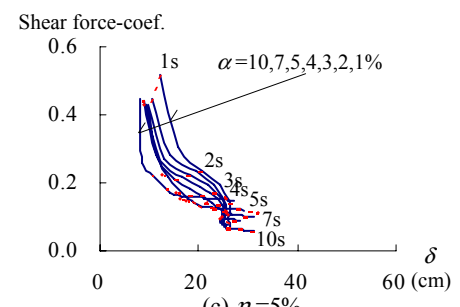
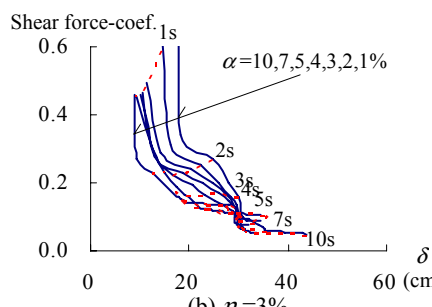


図6 速度べき乗型ダンパーを増設した場合の時刻歴解析結果 ($\eta=1,3,5\%$)

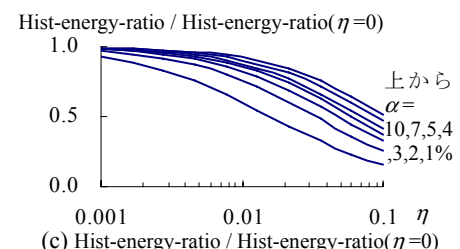
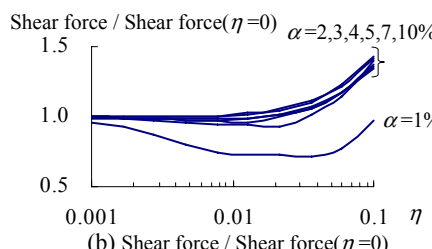
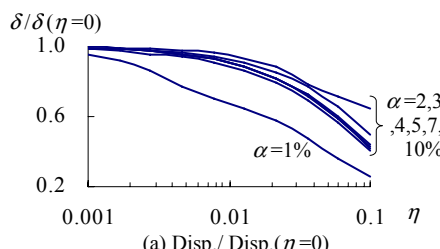


図7 $T_t=5$ 秒固定時の $\eta=0$ 時に対する応答と履歴ダンパー吸収エネルギー寄与率の変化 (オイルダンパー)

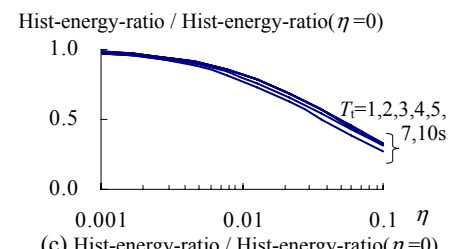
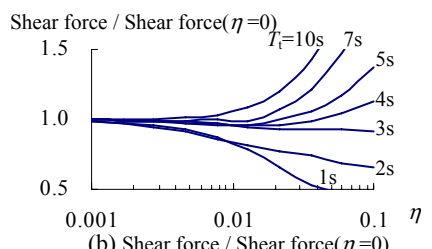
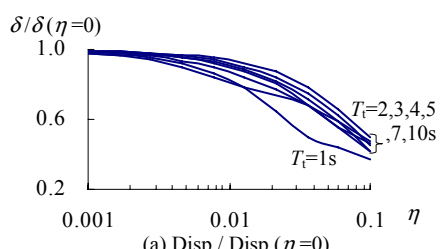


図8 $\alpha=3\%$ 固定時の $\eta=0$ 時に対する応答と履歴ダンパー吸収エネルギー寄与率の変化 (オイルダンパー)

*1 (株)大建設計 テクニカルセンター 構造

*2 ユニオンシステム(株) 振動解析総合推進室

*3 福岡大学 工学部建築学科教授・工博

*4 NTT ファシリティーズ総合研究所 構造技術本部

*1 DAIKEN SEKKEI, INC. Technical Center

*2 UNION SYSTEM INC. Dynamic Analysis Research Complex

*3 Prof., Fukuoka University, Faculty of Engineering, Dr.Eng.

*4 NTT FACILITIES RESEARCH INSTITUTE Inc.